csb.scichina.com



自组装 DNA 链置换分子逻辑计算模型

张成^{①†},马丽娜^{②†},董亚非^{②*},杨静³,许进^{①*}

- ① 北京大学信息科学技术学院, 高可信度软件技术教育部重点实验室, 北京 100871;
- ② 陕西师范大学生命科学学院, 西安 710062;
- ③ 华北电力大学控制与计算机工程学院, 北京 102206
- * 联系人, E-mail: dongyf@snnu.edu.cn; jxu@pku.edu.cn
- †同等贡献

2012-06-01 收稿, 2012-09-04 接受

国家自然科学基金重大仪器专项(61127005)、国家自然科学基金重点项目(61133010, 61033003)、国家自然科学基金国际重大合作项目 (60910002)、国家自然科学基金面上项目(61143003)、教育部博士点基金(20110001130016)、中国博士后特别资助项目(201104018)和博士后基 金(20100480128, 2011M500197)资助

摘要 将 DNA 自组装与链置换技术相结合, 构建了 DNA 分子逻辑计算模型. 通过输入 DNA 信号链, 经特异性识别和链置换, 自组装初始结构发生变化, 并释放特定信号分子或结构作为 输出. 计算模型能通过 DNA 自组装结构电泳迁移率的改变输出计算结果. 计算系统在室温下 可自动触发、混合输入信号以及并行置换. 另外, 本模型中引入了单极和双极两种置换模式设 计, 其还具有并行信息处理和模块化组装等特点. 最后经实验验证, 通过输入特异性 DNA 分 子链置换,该计算模型能正确输出逻辑计算结果.

关键词 DNA 链置换 DNA 自组装 分子逻辑计算 分子智能 模块化设计

近年来,随着"摩尔定律"的瓶颈逼近,面对海量 信息处理, 传统电子计算压力倍增, 人们将目光逐渐 转移到新型计算领域. 基于全新模式的量子和分子 计算脱颖而出, 科学家试图利用纳米材料和技术, 来 实现超大规模信息处理. 特别是 DNA 计算领域, 其 融合了信息, 生物, 纳米等多个学科, 成为有广泛应 用前景的热点研究领域[1-5]. 由于 DNA 分子的天然 特性: 特异性、高并行性和微小性等, 在海量信息存 储和处理过程中, 可以高容量保存以及并行操作, 具 有显著优势. 这使得 DNA 计算极有可能成为未来计 算的实现途径. 自 20 世纪末至今, DNA 计算在理论, 设计以及技术实现等方面都取得了较大的进展, 在 信息处理、分子智能、分子密码、纳米机器和纳电子 学等多个领域得到深入的研究[6~11].

DNA 计算发展至今, 融合了多种分子操作技术: PCR 技术、荧光标记、链置换、纳米颗粒和自组装 技术等. 其中, 结合荧光标记的 DNA 链置换技术发 展迅速. 科学家已经利用该技术构建了多种分子计 算模型[12~15]. 值得注意的是, 2011 年 Science 和 Nature 报道了加州理工学院计算机系的 Winfree 教授 研究组利用 DNA 链置换技术实现简单的开平方运算 和神经网络计算, 引起了信息计算领域的极大关注[4,5]. DNA 分子链置换技术不仅能与荧光检测、DNA 自组 装结合, 而且还可以进一步与纳米颗粒、量子点、蛋 白质等结合,从而促进了包括并行计算、密码集成、纳 电子学等研究领域的共同发展.

本文将 DNA 自组装与链置换技术相结合, 构建 了 DNA 链置换触发的逻辑计算模型. 总体上, 该运 算模型可分为两个部分: DNA 自组装结构和链置换 "控制器". 计算时, 先利用 DNA 杂交形成各类分子 自组装结构,构建基本的计算单元. 再通过分别输入 特异性的 DNA 分子信号, 对基本单元发出指令, 释 放特定输出分子信号. 本模型能在室温下自发进行, 且具有高度准确性(结果可通过多种电泳条带检测). 结合单极和双极置换设计,模型具有并行信息处理 和模块化组装等特点. 针对特异输入信号, 通过比较

英文版见: Zhang C, Ma L N, Dong Y F, et al. Molecular logic computing model based on DNA self-assembly strand branch migration. Chin Sci Bull, 2012, 57, doi: 10.1007/s11434-012-5498-z

DNA 自组装枝杈结构电泳迁移率变化,该计算模型能准确进行逻辑运算.

1 DNA 自组装和链置换

1.1 DNA 自组装

DNA 自组装是指以 DNA 分子为基本材料, 通过 分子间的碱基氢键、范德华力等微作用力自发缔结成 结构稳定的聚集体或超分子结构. 整个自组装是一 个由简单到复杂、从杂乱无章到井然有序的自发过程, 不需要人为干预. 20 世纪 60 年代, 提出 DNA 自组装 概念, 设想利用 DNA 单链组装成瓦片结构. 然而直 至 20 世纪 90 年代, DNA 自组装技术才变为现实. 这 一开创性的工作, 主要由 Seeman 教授研究组完成的. 他们通过多条短链 DNA 分子杂交, 获得了四边形、圆 环、绳结状等复杂结构[16~18]. Seeman 教授本人也因此 获得了 2010 年世界 Kavli 纳米领域奖. DNA 自组装 的另一个思路是利用较长的单链 M13 噬菌体 DNA. 这种方法成本低、结构多样以及产量高,非常适合于 大规模操作. 2006年, Rothemund 借助 M13 DNA 链和 短的寡核苷酸链,折叠获得平面自组装结构[19]. 随 着自组装技术的成熟, 近年来多种立体复杂自组装 结构也相继被构建[20~24].

1.2 DNA 链置换

DNA 链置换是利用分子杂交系统自由能趋向于稳定的特点,通过改变输入信号分子的长度和序列,控制或诱发下游链置换反应^[4,5]. 直观上理解,就是用较长的双链杂交取代较短杂交区域的过程. DNA链置换(DNA Strand Branch Migration)基本过程见图 1. 首先,两条部分互补的 DNA 链结合在一起(链 A 长度大于链 B). 在室温下,待加入链 C(其序列完全与链 A 互补),特异性识别区域先结合 A 链单链部分. 为了达到最稳态,再逐渐占领 A 链与 B 链的结合位点,最后完全置换释放出 B 链. 由于该过程能并行启动,具有高度特异性识别位点,且能够进行多层次嵌套触发,因此近年来发展迅速,已经成为分子计算领域的前沿研究热点^[12~14].

2 实验方法

2.1 链置换逻辑计算模型结构和序列设计

逻辑运算又称为布尔运算. 近代科学家布尔用

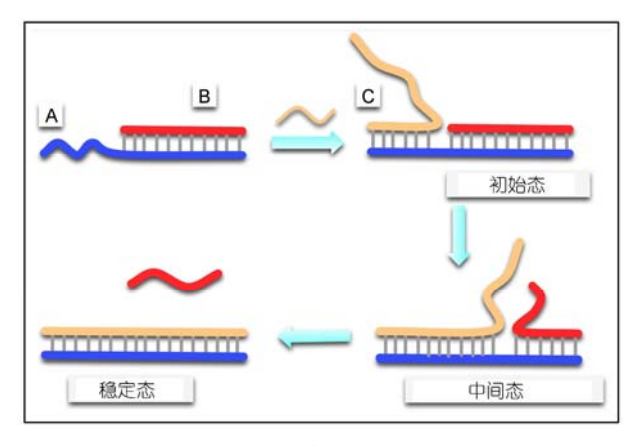


图 1 DNA 链置换基本过程

数学方法研究逻辑计算,并成功地建立了逻辑演算方法. 20 世纪 30 年代在电路系统领域得到广泛应用.由于传统的逻辑电路组成基本只有两个状态,即电流的开与断,这与逻辑计算的输入输出非常符合.随着近代微电子技术与计算机的发展,虽然出现各种复杂超大系统,但它们的最基本运算单元都是利用逻辑计算原理实现的. 2011年, Nature 对 DNA 分子实现的逻辑运算器做了专题介绍^[25]. 因此,无论是对计算机科学,还是其他相关交叉领域而言,利用自然分子模拟基本逻辑计算都具有一定理论和应用意义.

本研究中,利用 DNA 链置换进行实现与门 (AND)和或门(OR)基本逻辑运算. 其中,利用单极和 双极链置换,分别设计构建"AND"和"OR"门,并通过实验进行验证.

(1) 链置换逻辑计算模型设计. 构建链置换逻辑计算模型主要包括两方面的工作: 一是设计 DNA 分子自组装结构,识别区域设计和非信号区的结构包埋等; 二是整个系统 DNA 序列设计,着重考虑分子内部和链间互补错配. 另外,由于运算方式和原理不同,需要设计相应的 DNA 自组装结构. 然后再通过编码软件及限制条件,筛选出合适的 DNA 序列.设计过程中要重点注意避免碱基错配、DNA 茎环结构的形成和多聚体等问题.

在自组装"AND"模块结构中,为了便于模块化设计和控制链置换反应,其主体结构是由两种链杂交而成的:主体结构链(A)和信号识别链(ab 和 cd)(图 2). "AND"模块采用单极置换模式,即输入信号链(ab-1或 cd-1)只能与单侧信号识别链 ab或 cd 相作用.其中,主体结构链 A 由 20 bp 碱基组成,分为左右两个各长 10 bp 的片段,其作用为连接两端的信号识别

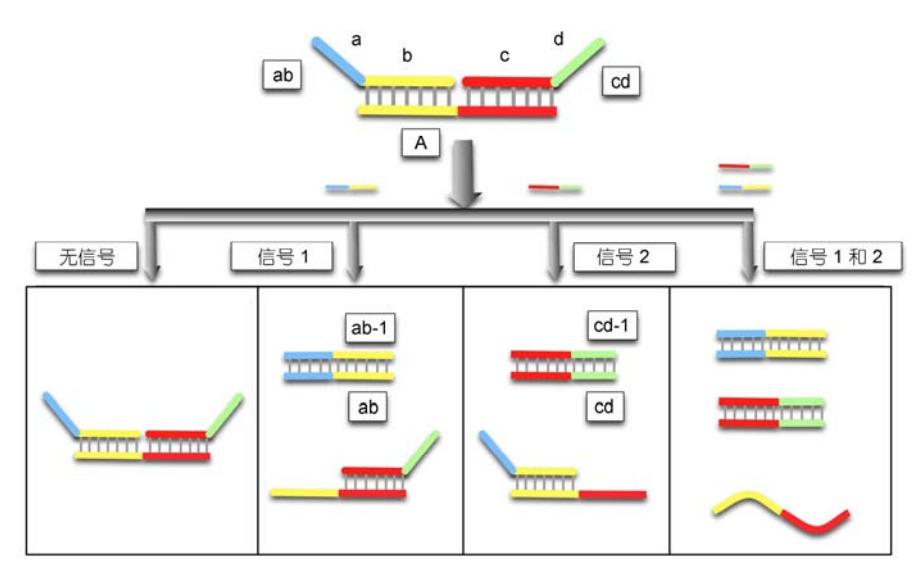


图 2 自组装"AND"模块置换原理图

链 ab 和 cd. 而信号识别链 ab 和 cd 又可分为两个部分: 结构区域 b 和 c, 以及特异性识别位点 a 和 b. 在这里,对信号识别链的结构区域和识别位点进行区别设计. 结构区域因其承担框架结构,不能轻易解构,因此设计链长 10 bp. 而特殊识别位点是进行链置换的关键部位,既需要实现结构功能,又要完成特异性识别,因此设计链长约 6~7 bp. 如图所示,颜色相同的 DNA 区域为互补序列. 经置换后,形成了一系列新的 DNA 自组装枝杈结构.

类似的, 自组装"OR"模块结构也采用链置换反

应模式实现计算. 自组装设计由主体结构链(B)和多个信号识别区域(e, f, g, h)组成. 但不同的是, "OR"模块使用了双极同步链置换方式(图 3). 即利用不同识别区域的相同识别位点,对其进行同步置换. 双极同步链置换有利于实现模块化设计,即在仅改变部分链序列的基础上,就可以实现逻辑关系的计算. 另外,"OR"模块中还采用了混合输入信号作为单种输入,如信号 3 和 4 分别为输入链(ef-1, eg-1)和(fh-1, gh-1).置换后,形成了新的部分互补双链 DNA 和单链 DNA 分子.

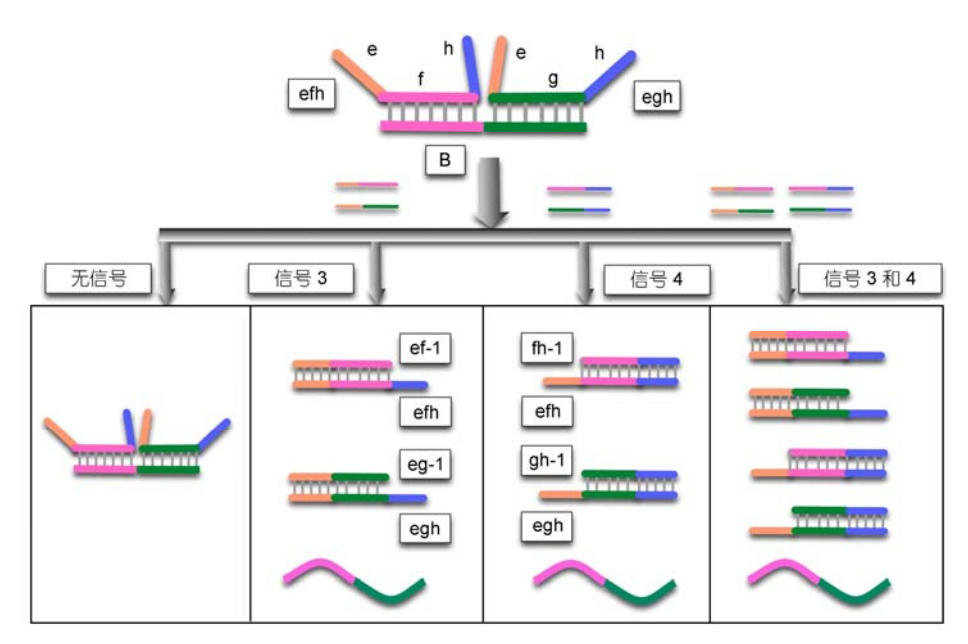


图 3 自组装"OR"模块置换原理图

- (2) 输入信号分子链触发链置换. 向不同逻辑 计算模块中加入相应的输入信号,通过特异性识别 位点相互作用,对应的信号分子输出链被释放(见图 2 和 3).
- (3) 检测计算结果. 通过聚丙烯酰胺凝胶电泳 (PAGE)检测出逻辑计算相应的结果.

2.2 实验方法和材料

- (1) 实验方法. 逻辑门通过加入各种结构 DNA 分子后,经缓慢退火杂交得到. 具体方法如下所述:构建 DNA 逻辑计算模型时,将等摩尔浓度的各种 DNA 链加入到体系中(终浓度 1 pmol/μL, TAE/Mg2+缓冲液). 将混合液体置于如下退火条件:95℃ 4 min,65℃ 30 min,50℃ 30 min,37℃ 30 min,22℃ 30 min. 此步骤后,可进行电泳进行检测. 实验中, DNA 链置换在 1×PBS 缓冲液中实现. 加入的 DNA 链和运算逻辑模块混合后,在室温下反应 6 h 以上,即可进行PAGE 电泳结果检测. 链置换反应产物可以置于 4下保存.
- (2) 实验试剂及其配制. 实验中所使用的 DNA 链购自上海生工,都经过 PAGE 电泳纯化. 实验中的 DNA 分子编码序列设计(见表 1).

Tris 碱、Na₂EDTA、溴化乙锭(EB)、丙烯酰胺、亚甲双丙烯酰胺、过硫酸铵、四甲基乙二胺(TEMED) 和 Stain all 购自 Sigma 公司产品; DNA Marker(DNA marker 20 bp ladder, 50 bp ladder)、溴酚兰购自 TaKaRa 公司; 10×PBS 缓冲液购自北京索莱宝公司; TAE/ Mg²⁺缓冲液: 0.04 mol/L Tris acetate, 1 mmol/L EDTA, 12.5 mmol/L Mg acetate, 调整 pH 为 8.3; 丙烯酰胺母液: 配制 500 mL 浓度为 45%的丙烯酰胺母液, 称取 217 g 丙烯酰胺和 8 g 亚甲双丙烯酰胺, 37 下促溶解,加入去离子水定容至 500 mL.

3 实验结果

本实验中,利用 PAGE 电泳进行结果检测. 由于 DNA 自组装结构发生变化,会导致高分子复合体电泳速度发生变化,因此通过分析泳道 DNA 条带的特异变化,即可对计算结果进行输出.

在"AND"逻辑计算模块中, 分四种情况进行输 入: 无信号、信号1、信号2以及共同加入信号1和 2. (1) 当没有信号输入时, 易知自组装结构没有变化. (2) 当信号 1(ab-1)加入时, 特异性识别区域 a 相互作 用, 输入链 ab-1 将 ab 链完全置换. (3) 当信号 2(cd-1) 加入时, 特异性识别区域 d 相互作用, 输入链 cd-1 将 cd 链完全置换. (4) 当同时加入信号 1 和 2 时, 特异 性识别区域 a 和 d 同时作用, 此时彻底释放 DNA 链 A. 从结构看, 只有同时加入信号1和2, 才能够导致 自组装结构完全解体. 从电泳结果图 4 看, 泳道 1~5 显示了各个不同自组装体的电泳条带, 泳道 6,8,9 和 10 显示了计算结果. 计算结果可以从电泳条带部位 进行判读, 以橘红色箭头标出(标记部位代表单链 A 的电泳位置). 从电泳结果可知, 只有泳道 10 置换释 放出了链 A, 即输出值为真(信号1和2同时输入). 而 在泳道 6,8 和 9 同样的位置, 都没有 A 链被释放, 即 输出值为假. 另外, 蓝色箭头标记部位, 其代表未加 入信号时, 保持的完整自组装体电泳条带(泳道 6).

图 4 中, 泳道 6 为逻辑门初始状态自组装体. 一方面, 通过对比泳道 3 的 A 链电泳位置, 发现泳道 8 和 9 的对应位置并无释放 A 电泳条带. 而双聚体的电泳位置则出现在泳道 3 中 A 条带靠下的位置. 另一方面, 同时加入信号 1 和 2 后, 泳道 10 中产生了新的电泳条带(橘红箭头标记). 通过与泳道 3 比较, 发现其位置与 A 链相当. 并且泳道 10 位置靠下的条带(双聚体 ab/ab-1 和 cd/cd-1)比同泳道中的 A 链条带位置明显滞后. 因此, 可以推断新产生的电泳条带就是释放

W = 7/4 7/1 1/1 1/4 2 1/4 7/4		
序列(5'~3')	名称	序列(5'~3')
TCTGGCACTATGACAAGCGA	efh	CTAATCACCCTGCTTCGGAACTGG
TAGTGCCAGAGGTATCC	ef-1	CCAGTTCCGAAGCAGGG
GGATACCTCTGGCACTA	eg-1	CCAGTTCAATGCGTATG
ATTCATCTCGCTTGTCA	egh	CTAATCACATACGCATTGAACTGG
TGACAAGCGAGATGAAT	fh-1	CGAAGCAGGGTGATTAG
CGAAGCAGGGAATGCGTATG	gh-1	AATGCGTATGTGATTAG
	TCTGGCACTATGACAAGCGA TAGTGCCAGAGGTATCC GGATACCTCTGGCACTA ATTCATCTCGCTTGTCA TGACAAGCGAGATGAAT	TCTGGCACTATGACAAGCGA efh TAGTGCCAGAGGTATCC ef-1 GGATACCTCTGGCACTA eg-1 ATTCATCTCGCTTGTCA egh TGACAAGCGAGATGAAT fh-1

表1 实验中所使用的 DNA 序列

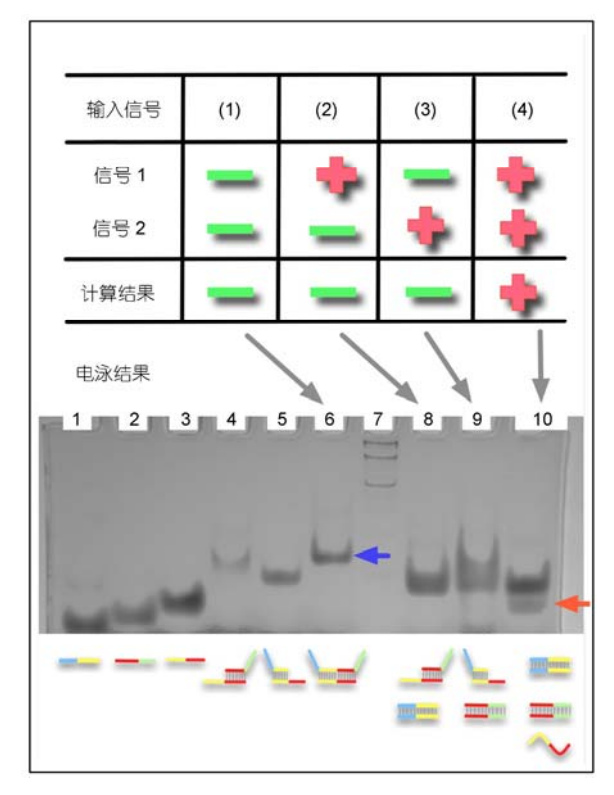


图 4 "AND"逻辑模块计算结果(泳道 7 为 DNA Marker)

的 A 链.

类似的, 在"OR"逻辑计算模块中, 也分四种情 况进行输入: 无信号、信号 3、信号 4 以及共同加入 信号 3 和 4. 但与"AND"计算模块不同的是, 每种信 号都由两种 DNA 链混合而成,同步对特异性识别位 点进行置换. (1) 当没有信号输入时, 整体自组装结 构没有变化. (2) 当信号 3(ef-1 和 eg-1 链)加入时,特 异性识别区域 e 相互作用, 输入链 ef-1 和 eg-1 同时 分别对 efh 和 egh 链进行置换. (3) 当信号 4(fh-1 和 gh-1 链)加入时, 特异性识别区域 h 相互作用, 输入 的混合链可将 efh 和 egh 链完全置换. (4) 当同时加入 信号3和4时,特异性识别区域e和h同时作用,此 时完整的初始自组装结构解体. 从结构看, 只要加入 信号 3 或 4, 都能够导致自组装结构完全解体. 从电 泳结果图 5 看, 泳道 5,6,7 和 8 显示了计算结果. 当没 有信号链输入时, 自组装结构保持初始状态而无变 化,输出值为假,以蓝色箭头标出(泳道 5). 而当加 入任意信号后,链置换就会发生,从而导致自组装结 构解体. 在电泳中表现为电泳速度加快, 橘红色箭头 标记部位代表解体后的电泳位置. 加入任意信号3和 4, 电泳结果(泳道 6,7 和 8)都显示出初始自组装体条

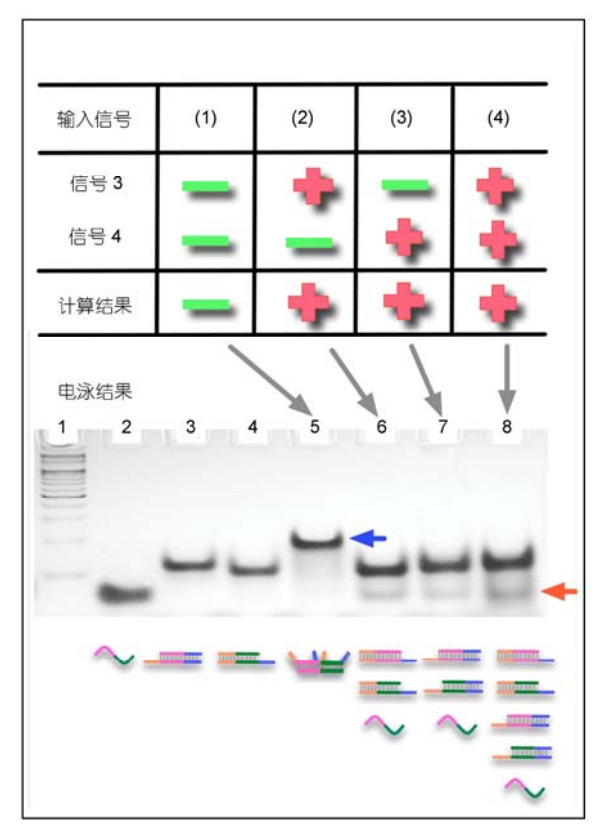


图 5 "OR"逻辑模块计算结果(泳道 1 为 DNA Marker)

带消失,而在双聚体和单链条带(橘红色箭头)位置产生了新的电泳条带.因此,可以推断在单链相应位置处产生的新条带即为输出链.从电泳结果可知,泳道6,7和8都置换解体了原有的自组装结构,即输出值为真(信号3或4任意输入).实验结果与预期符合.

4 讨论

本文利用 DNA 自组装与链置换技术,构建了DNA 链置换控制触发的逻辑计算模型. 计算模型主要由两部分组成: 自组装结构模块和链置换触发模块. 通过输入 DNA 信号链, 经特异性识别和链置换,自组装初始结构发生变化, 并释放特定信号分子作为输出. 该模型具有如下特点: (1) 室温下自发反应. 因为整个链置换反应体系是在室温下进行的, 因此不会引起其他自组装结构热变性变化, 从而减少了实验误差. (2) 单极和双极置换模式. 由于采用了单极和双极置换模式, 本模型具有并行信息处理和模块化组装等特点. 这样设计主要有如下优点: 第一,设计信号链数据库的模块化. 仅通过更换不同的识别位点就可以实现新的信号识别, 便于大规模程式

化设计(在这个过程中,主体结构链是无需进行改变的);第二,同一信号链可以同时触发不同的计算模块.这有利于多种计算模块相互结合和搭建,以及运算的并行操控.第三,输入信号不仅可以是一种链,还可以将多种混合信号链作为一种信号进行输入,可通过组合增加有限的信号数量.(3)实验结果的高准确判读模式.由于自组装结构变化会导致各类DNA 复合分子电泳率变化,所以计算输出结果可以综合考虑不同电泳条带的位置进行判读,如解体或新产生电泳条带.该特点有助于提高计算模型的准确率.通过实验验证,针对特异输入信号,该计算模型能准确进行逻辑运算.

同时,在模型构建过程中,该模型还存在以下几个难点和不足.(1)复杂系统的 DNA 序列设计.该模型采用了双极链置换,对 DNA 序列设计提出了更高的要求.以往设计中,要尽量减少 DNA 序列相似性,而在本实验中,由于需要双极链置换,这就要求两个置换链必须具有相同的特异性识别位点(如输入信号链 ef-1 和 eg-1).对于给定部分序列的 DNA 分子,其设计难度更大,错配现象也更多.(2)识别混合输入信号链.由于混合输入信号链,使得体系复杂度增加.因此还需要进一步摸索,通过体系浓度调节和控制其他反应条件,有效提高混合信号的识别特异性.(3)

检测方法相对单一和简单.本实验主要通过自组装结构电泳迁移率变化进行结果检测.在日后的研究中,应考虑结合荧光标记、原子力显微镜、生物酶和纳米颗粒等技术,实现综合性多类别结果检测^[26-28]. (4) 释放信号链亮度偏低.其原因可能有如下两个.第一,双链 DNA 染色能力较强.由于染色剂容易插人双链 DNA 之间,因此双链 DNA 比单链 DNA 更容易染色.第二,链置换效率不高.释放链亮度较低,可能是由链置换效率较低引起的.但是,从另一个角度看,初始自组装体在原有电泳位置已经完全消失,而转化为双聚体和单链.这基本可以证明初始自组装体大部分都进行了链置换反应.因此,释放链亮度偏低可能是由于不同 DNA 自组装体的染色能力造成的.在随后的研究中,力争结合其他前沿技术,进一步对该计算模型进行提高和完善.

虽然本文举例求解的规模较小,尚不能解决实际问题,但模型实验的成功操作还是能够说明: DNA 自组装结构和链置换技术在分子计算领域具有的潜在能力.另外,该模型也为相关领域如计算机科学、密码学、纳米智能和医学等提供了新的思路和结合点.随着分子计算理论和实验的不断进步, DNA 计算在不久的将来有望真正地走入应用领域,为未来大规模复杂信息处理发挥作用.

参考文献

- 1 Adleman L. Molecular computation of solution to combinatorial problems. Science, 1994, 66: 1021-1024
- 2 Ouyang Q, Kaplan P D, Liu S, et al. DNA solution of the maximal clique problem. Science, 1997, 278: 446-449
- 3 Mao C D, LaBean T H, Reif J H. Logical computation using algorithmic self-assembly of DNA triple-crossover molecules. Nature, 2000, 28: 493–496
- 4 Qian L L, Winfree E. Scaling up digital circuit computation with DNA strand displacement cascades. Science, 2011, 332: 1196-1201
- 5 Qian L L, Winfree E, Bruck J. Neural network computation with DNA strand displacement cascades. Nature, 2011, 475: 368-372
- 6 Pei R J, Matamoros E, Liu M H, et al. Training a molecular automaton to play a game. Nat Nanotechnol, 2010, 5: 773–777
- 7 Gu H Z, Chao J, Xiao S J, et al. Molecular robots guided by prescriptive landscapes. Nature, 2010, 465: 202-205
- 8 Rinaudo K, Bleris L, Maddamsetti R. A universal RNAi-based logic evaluator that operates in mammalian cells. Nat Biotechnol, 2007, 25: 795–801
- 9 Maune H T, Han S P, Barish R D, et al. Self-assembly of carbon nanotubes into two-dimensional geometries using DNA origami templates. Nat Nanotechnol, 2010, 5: 61–66
- 10 Morrow T J, Li M W, Kim J, et al. Programmed assembly of DNA-coated nanowire devices. Science, 2009, 323: 352-353
- 11 Clelland C T, Risca V, Bancroft C. Hiding messages in DNA microdots. Nature, 1999, 399: 533-534
- 12 Seelig G, Soloveichik D, Zhang Y D, et al. Enzyme-free nucleic acid logic circuits. Science, 2006, 314: 1585-1588
- 13 Shin J S, Pierce N A. Rewritable memory by controllable nanopatterning of DNA. Nano Lett, 2004, 4:905–909
- 24 Zhang D Y, Turberfield A J, Yurke B, et al. Engineering entropy-driven reactions and networks catalyzed by DNA. Science, 2007, 318: 1121–1125

- 15 Frezza B M, Cockroft S L, Ghadiri M R. Modular multi-level circuits from immobilized DNA-based logic gates. J Am Chem Soc, 2007, 129: 14875–14879
- 16 Winfree E. Design and self-assembly of two-dimensional DNA crystals. Nature, 1998, 394: 539-544
- 17 LaBean T H, Reif J H, Seeman N C, et al. Construction, analysis, ligation, and self assembly of DNA triple crossover complexes. J Am Chem Soc, 2000, 122: 1848–1860
- 18 Carbone A, Seeman N C. Circuits and programmable self-assembling DNA structures. Proc Natl Acad Sci USA, 2002, 99: 12577-12582
- 19 Rothemund P W. Folding DNA to create nanoscale shapes and patterns. Nature, 2006, 440: 297-302
- 20 Goodman R P, Schaap I A T, Tardin C F, et al. Rapid chiral assembly of rigid DNA building blocks for molecular nanofabrication. Science, 2005, 310: 1661–1665
- 21 Zhang C, Su M, He Y, et al. Conformational flexibility facilitates self-assembly of complex DNA nanostructures. Proc Natl Acad Sci USA, 2008, 105: 10665–10669
- Aldaye F A, Lo P K, Karam P, et al. Modular construction of DNA nanotubes of tunable geometry and single- or double-stranded character. Nat Nanotechnol, 2009, 4: 349–352
- 23 Han D R, Pal S, Nangreave J, et al. DNA origami with complex curvatures in three-dimensional space. Science, 2011, 332: 342-346
- 24 Ackermann D, Schmidt T L, Hannam J S, et al. A double-stranded DNA rotaxane. Nat Nanotechnol, 2010, 5: 436-442
- Thomas C. DNA as a logic operator. Nature, 2011, 469: 45–46
- 26 Liu Q H, Wang L M, Frutos A G, et al. DNA computing on surfaces. Nature, 2000, 403: 175-179
- 27 Benenson Y, Elizur T P, Adar R, et al. Programmable and autonomous computing machine made of biomolecules. Nature, 2001, 411: 430-434
- 28 Benenson Y, Gil B, Dor U B, et al. An autonomous molecular computer for logical control of gene expression. Nature, 2004, 429: 423-429